



БИООРГАНИЧЕСКАЯ ХИМИЯ

mom 14 * № 2 * 1988

УДК 577.114.5.088.53:579.841.11

АНТИГЕННЫЕ ПОЛИСАХАРИДЫ БАКТЕРИЙ

28*. СТРУКТУРА О-СПЕЦИФИЧЕСКОЙ ЦЕПИ ЛИПОПОЛИСАХАРИДА

PSEUDOMONAS SYRINGAE, ПАТОВАР ATROFACIENS K-1025,
И **PSEUDOMONAS HOLCI** 90а (СЕРОГРУППА II)

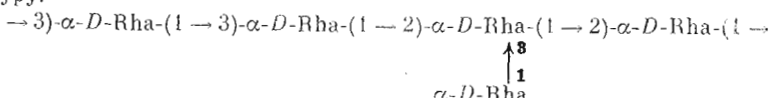
Книрель Ю. А., Здоровенко Г. М., Яковлева Л. М.*,
Шашков А. С., Соляник Л. Н.*; Захарова И. Я.**

Институт органической химии им. Н. Д. Зелинского Академии наук СССР, Москва.

*Институт микробиологии и вирусологии им. Д. К. Заболотного

Академии наук УССР Киев

Липополисахариды серологически родственных штаммов *Pseudomonas syringae*, патовар *atrofaciens* K-1025, и *Pseudomonas holci* 90а имеют идентичную О-специфическую полисахаридную цепь, представляющую собой гомополимер D-рамнозы. На основании данных метилирования, частичного и полного распада по Смиту и анализа методами ¹Н- и ¹³С-ЯМР-спектроскопии найдено, что повторяющиеся звено полисахарида представляет собой разветвленный пентасахарид, имеющий следующую структуру:



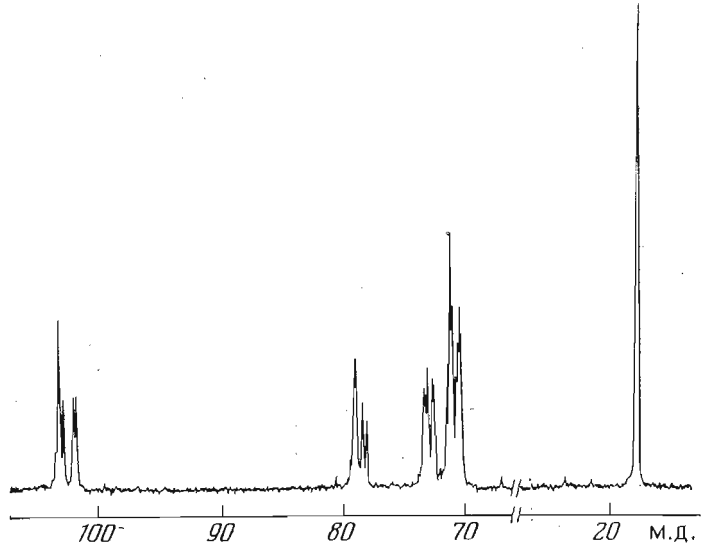
Штаммы ряда патоваров в составе вида *Pseudomonas syringae* и некоторых близкородственных видов серологически неоднородны. Так, штаммы *P. syringae*, патовар *atrofaciens*, согласно классификационной схеме [2], распределяются в серогруппах II, IV–VI, а штаммы *P. holci* – в серогруппах I, II, IV и VI. Приводимое нами систематическое химическое и иммунохимическое изучение липополисахаридов фитопатогенных бактерий рода *Pseudomonas* ставит своей целью определение молекулярных основ серогруппирования, а также степени корреляции между свойствами липополисахаридов и специализацией к растению-хозяину. Ранее нами была установлена структура О-специфической полисахаридной цепи липополисахаридов штаммов *P. syringae*, патовар *atrofaciens*, и *P. holci*, относящихся к серогруппам IV [3] и VI [1]. Настоящая работа посвящена исследованию О-специфических полисахаридов штаммов этих бактерий, входящих в серогруппу II.

Липополисахариды были выделены экстракцией раствором хлористого натрия [4] сухих бактериальных клеток *P. syringae*, патовар *atrofaciens* K-1025, и *P. holci* 90а. Они были близки по своим серологическим свойствам и характеризовались высокой О-специфической активностью в реакциях коллоидной пропитации (титр 1:1 000 000), пассивной гемагглютинации (титры 1:5120—1:10 240) и давали по одной линии преципитации в тесте Оукхердона и по цветению в иммуноэлектрофорезе.

При расщеплении липополисахаридов разбавленной уксусной кислотой были получены О-специфические полисахариды, выделенные гель-фильтрацией на сепадекс G-50. Они обладали серологической активностью, которая была, однако, заметно ниже, чем у исходных липополисахаридов, о чем свидетельствовали данные торможения реакции пассивной гемагглютинации в гомологичных тест-системах (минимальные ингибирующие дозы липополисахаридов и полисахаридов 0,25 и 64 мкг соответственно).

При кислотном гидролизе обоих полисахаридов образовалась только

* Сообщение 27 см. [1].



^{13}C -ЯМР-спектр О-специфического полисахарида *P. holci* 90а

рамноза, которая была идентифицирована методами хроматографии на бумаге и ГЖХ в виде ацетата полиола. ^{13}C -ЯМР-спектры полисахаридов были идентичны друг другу (на рисунке приведен один из них). В них присутствовали сигналы метильных групп пяти остатков 6-дезоксисахара (рамнозы) при 17,9–18,0 м.д., пяти аномерных атомов углерода в области 101,8–103,1 м.д. и 20 сигналов остальных углеродных атомов в области 70–80 м.д. ^1H -ЯМР-спектры этих полимеров также были идентичными и содержали сигналы пяти метильных групп рамнозы при 1,2–1,4 м.д., пяти аномерных протонов в области 5,0–5,3 м.д. и остальных протонов в области 3,5–4,2 м.д. Кроме того, полисахариды имели близкие величины удельного оптического вращения $[\alpha]_D +81\text{--}86^\circ$ (*c* 0,5). Следовательно, они построены из одинаковых по структуре пентасахаридных звеньев, содержащих только остатки рамнозы. Дальнейшее структурное исследование было выполнено на полисахариде *P. holci* 90а.

Константы спин-спинового взаимодействия $J_{\text{с},\text{н}}$ для аномерных углеродных атомов, определенные из снятого без подавления С,Н-взаимодействий ^{13}C -ЯМР-спектра полисахарида, имели относительно большие величины (170–174 Гц), что указывало на α -конфигурацию всех рамнозидных связей [5].

Анализ полисахарида методом метилирования привел к идентификации 2,3,4-три-О-метилрамнозы, 3,4-ди-О-метилрамнозы, 2,4-ди-О-метилрамнозы и 4-О-метилрамнозы в соотношении $\sim 1:1:2:1$. Таким образом, полисахарид является разветвленным, в узле разветвления находится остаток рамнозы, замещенный в положения 2 и 3, два остатка рамнозы замещены в положение 3, один остаток замещен в положение 2 и один является терминальным сахаром боковой цепи. Из этих данных следовало также, что все моносахаридные остатки находятся в пиранозной форме.

С целью получения необходимого для дальнейшего исследования строения олигосахаридного фрагмента полисахарид был подвергнут распаду по Смиту, который привел к олигосахариду (I), выделенному гель-хроматографией на геле TSK HW 40. В ^{13}C -ЯМР-спектре этого олигомера присутствовали сигналы метильных групп трех остатков рамнозы при 17,9 м.д., трех аномерных углеродных атомов при 99,5; 103,2 и 103,4 м.д., двух гидроксиметильных групп при 61,9 и 62,7 м.д. (их положение совпадает с положением сигналов C1 и C3 замещенного в положение 2 остатка глицерина в ^{13}C -ЯМР-спектре олигосахарида, полученного при распаде по Смиту полисахарида *P. seracia* 3181 [6]) и 13 углеродных атомов в области 70–80 м.д. (табл. 1). Таким образом, как и следовало ожидать в соответствии с результатами метилирования, в олигосахарид (I) входят

Таблица I

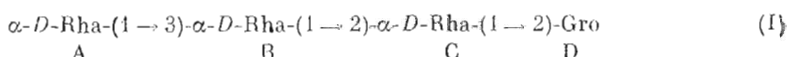
Химические сдвиги в ^{13}C -ЯМР-спектрах (δ , м. д.) *

Звено	C1	C2	C3	C4	C5	C6
Олигосахарид (I)						
Rha α 1- (A)	103,4	71,5	71,6	73,4	70,3	17,9
-3Rha α 1- (B)	103,2	71,4	79,8	72,6	70,3	17,9
-2Rha α 1- (C)	99,5	79,1	71,2	73,7	70,6	17,9
-2Gro (D)	61,9	79,8	62,7			
Полисахарид (II)						
-3Rha α 1- (A)	103,1	71,2	79,4	72,7	70,4	17,9
-3Rha α 1- (B)	102,8	71,4	79,1	72,8	70,5	17,9
-2,3Rha α 1- (C)	102,0	78,6	78,2	73,3	70,8	17,9
-2Rha α 1- (D)	101,8	78,9	71,4	73,7	70,7	17,9
Rha α 1- (E)	103,1	71,4	71,7	73,4	70,4	18,0

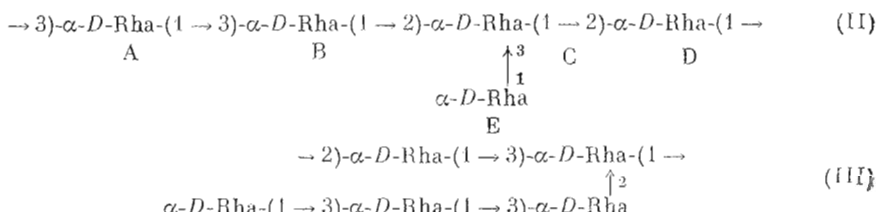
* Отнесение сигналов, разница между химическими сдвигами которых не превышает 0,5 м. д., может быть обратным.

три остатка рамнозы и остаток глицерина, замещенный в положение 2, который образовался при окислении замещенного в положение 2 остатка рамнозы.

Структура олигомера (I) была установлена методом ^1H -ЯМР-спектроскопии с использованием ядерного эффекта Оверхаузера (ЯЭО) [7]. Спектр олигосахарида был расшифрован с использованием селективного двойного ядерного резонанса (табл. 2). Предоблучение $\text{H}1$ остатка рамнозы при 5,07 м.д. (звена А) привело к заметному увеличению (~11%) сигнала $\text{H}3$ соседнего остатка рамнозы (звена В) при 3,86 м.д. Далее, предоблучение $\text{H}1$ звена В при 4,97 м.д. вызывало ЯЭО (~10%) на $\text{H}2$ звена С при 4,03 м.д. И наконец, предоблучение $\text{H}1$ звена С при 5,13 м.д. привело к ЯЭО (~12%) на $\text{H}2$ остатка глицерина, резонирующем при 3,81 м.д. Из этих данных однозначно следует, что олигосахарид (I) имеет следующую структуру:



Из факта образования при распаде по Смиту олигосахарида (I) следует, что замещенный в положение 2 остаток рамнозы находится в основной цепи полисахарида. Этому выводу и строению олигомера (I) удовлетворяют две альтернативные структуры полисахарида:



Для выбора между этими структурами полисахарид был подвергнут частичному распаду по Смиту с использованием недостатка перисодата натрия (~1 эквивалент на повторяющееся звено). После мягкого кислотного гидролиза окисленного периодатом натрия и затем восстановленного боргидридом натрия полисахарида полимерная фракция была отделена гель-хроматографией на геле TSK HW 40. Ее анализ методом метилирования привел к идентификации 2,3,4-три-О-метилрамнозы, 3,4-ди-О-метилрамнозы, 2,4-ди-О-метилрамнозы и 4-O-метилрамнозы в соотношении ~1 : 3 : 4 : 1. Заметное уменьшение относительного содержания метилированных производных рамнозы, соответствующих терминальному и лежа-

Данные ^1H -ЯМР-спектра олигосахарида (I)

Звено	Протон	Химический сдвиг, м. д.	Наблюдаемая мультиплетность *	КССВ, Гц
Rha α 1- (A)	H1	5,07	д	$J_{1,2}$ 1,7
	H2	4,09	дд	$J_{2,3}$ 3,2
	H3	3,86	дд	$J_{3,4}$ 9,6
	H4	3,52	т	$J_{4,5}$ 9,5
	H6 (3H)	1,30 **	д	$J_{5,6}$ 6
-3Rha α 1- (B)	H1	4,97	д	$J_{1,2}$ 1,7
	H2	4,18	дд	$J_{2,3}$ 3,2
	H3	3,86	дд	$J_{3,4}$ 9,5
	H4	3,48	т	$J_{4,5}$ 9,5
	H6 (3H)	1,31 **	д	$J_{5,6}$ 6
-2Rha α 1- (C)	H1	5,13	д	$J_{1,2}$ 1,7
	H2	4,03	дд	$J_{2,3}$ 3,4
	H3	3,94	дд	$J_{3,4}$ 9,7
	H4	3,52	т	$J_{4,5}$ 9,5
	H6 (3H)	1,32 **	д	$J_{5,6}$ 6
-2Gro (D)	H2	3,81	м	

* д — дублет, т — триплет, м — мультиплет.

** Отнесение может быть обратным.

щему в узле связи остаткам, и увеличение содержания производного, соответствующего остатку рамнозы, замещенному в положение 2, показывают, что при отщеплении окислившегося терминального моносахарида образуются участки с линейной структурой. Таким образом, полисахарид имеет структуру (II).

Для определения абсолютной конфигурации рамнозы был проведен расчет оптического вращения олигосахарида (I) и полисахарида (II) по правилу Кляйна [8]. Рассчитанные величины, приведенные в табл. 3, близки экспериментальным только при D-конфигурации всех остатков рамнозы. Этот вывод согласуется с величинами эффектов гликозилирования на атомы C1 в ^{13}C -ЯМР-спектре полисахарида, которые составляют не менее 7 м.д. Следовательно, все α 1,2- и α 1,3-связанные рамнопиранозные остатки имеют одинаковые абсолютные конфигурации [9].

Таким образом, О-специфический полисахарид *P. holci* 90а, а значит, и полисахарид *P. syringae*, патовар *atrofaciens* K-1025, имеет структуру (II). Эта структура была подтверждена результатами расшифровки ^{13}C -ЯМР-спектров этого полисахарида и олигосахарида (I) (табл. 1), которая была проведена при сравнении с данными спектров олигосахарида α -D-Rha-(1→3)- α -D-Rha-(1→2)-Gro, полученного из полисахарида *P. cerasia* 3181 [6], и линейного рамнана, полученного из полисахарида *P. holci* 8299 и имеющего такую же структуру, что и основная цепь полисахарида (II) [1].

Отметим ряд признаков, сближающих О-антителы изученных в настоящей работе представителей серогруппы II с О-антителами ранее исследованных фитопатогенных видов *Pseudomonas*. Это прежде всего присутствие D-рамнозы, редко встречающегося за пределами семейства псевдомонад моносахарида. Кроме того, основная цепь О-специфического полисахарида изученных в настоящей работе штаммов серогруппы II имеет такое же строение, что и основная цепь полисахаридов серогрупп IV [3] и VI [1]. Эти данные свидетельствуют о филогенетической близости фитопатогенных псевдомонад и целесообразности их объединения в составе одного таксона.

В то же время структура (II) заметно отличается от структуры полисахаридов ранее изученных представителей серогруппы II — *P. cerasi* 467 и *P. syringae*, патовар *syringae* 218 [11]. Эти отличия связаны как с основной цепью (она представлена D-рамнаном с тетрасахаридным, а не

Таблица 3

**Расчет удельного оптического вращения полисахарида (II) и олигосахарида (I)
по правилу Кляйна [8]**

Соединение	$[\alpha]_D$, град	M_T	$[M]_D$, град
Rha α 1-O-Me [10]	-67,2	178	-419,0
Полисахарид (II)			
рассчитано для			
5 DRha α	+81,9	730	+598,1
4 DRha α , 1 LRha α	+49,2	730	+358,8
экспериментальное значение	+85,8		
Олигосахарид (II)			
рассчитано для			
3 DRha α	+67,6	530	+358,8
2 DRha α , 1 LRha α	+22,6	530	+119,6
экспериментальное значение	+61,6		

с трисахаридным повторяющимся звеном), так и с боковыми заместителями (остатки α -D-рамнопиранозы вместо остатков α -D-фукофуранозы). В связи с этим можно предполагать, что серологическая взаимосвязь, послужившая основанием для объединения всех этих штаммов в серогруппу II, обусловлена сходным структурным участком основных цепей, построенных из остатков α -D-рамнопиранозы.

Авторы благодарят С. С. Мамяна (Институт органической химии им. Н. Д. Зелинского) за съемку спектров ЯЭО.

Экспериментальная часть

^1H -ЯМР-спектры сняты на приборе Bruker WM-250 (ФРГ) в D_2O при 50° С. ЯЭО определялись как описано ранее [3]. ^{13}C -ЯМР-спектры сняты на приборе Bruker AM-300 (ФРГ) при 60° С в D_2O с использованием в качестве внутреннего стандарта метанола (δ_c 50,15 м.д.). Оптическое вращение определяли на поляризаторе ЕПО-1 в воде при 20° С. Анализ методами ГЖХ и ГЖХ-масс-спектрометрии и гель-хроматографии проведены как описано ранее [3].

Выращивание бактериальных культур, выделение и очистка липополисахаридов, получение сывороток, серологические тесты проведены как описано в работе [4]. Расщепление липополисахаридов и выделение О-специфических полисахаридов осуществляли согласно [3].

Кислотный гидролиз полисахарида проводили 1 М трифторуксусной кислотой (100° С, 3 ч). гидролиз упаривали, рамнозу превращали в ацетат рамнита как обычно и анализировали ГЖХ. Метилирование выполняли по методу [12], идентификацию методом ГЖХ-масс-спектрометрии частично метилированных моносахаридов в виде ацетатов полиолов проводили по данным [13].

Распад по Смиту. а) Полисахарид (25 мг) окисляли 0,1 М метапериодатом натрия (2 мл, 20° С, 2 сут в темноте), добавляли натрийборгидрид (70 мг), через 2 ч избыток боргидрида разлагали концентрированной уксусной кислотой, депонизировали гель-фильтрацией на геле TSK HW 40, гидролизовали 1% уксусной кислотой (3 мл, 100° С, 2 ч), упаривали, остаток дважды упаривали с водой, восстанавливали натрий-боргидридом (20 мг) в воде (1 мл, 20° С, 2 ч), гель-хроматографий на геле TSK HW 40 выделяли олигосахарид (I). Выход 10 мг, $[\alpha]_D$ +61,6° (с 0,25).

б) Полисахарид (10 мг) окисляли в 0,3 мл 0,05 М метапериодата натрия (20° С, 2 сут в темноте), обрабатывали как описано в «а», гидролизовали 0,1 М трифторуксусной кислотой (100° С, 15 мин), гель-хроматографией на геле TSK HW 40 выделяли частично окисленный полисахарид (4,5 мг).

ЛИТЕРАТУРА

1. Книрель Ю. А., Здоровенко Г. М., Шашков А. С., Губанова Н. Я., Яковлева Л. М., Гвоздяк Р. И. // Биоорган. химия. 1988. Т. 14. № 1. С. 92–99.
2. Пастушенко Л. Т., Симонович И. Д. // Микробиол. журн. 1979. Т. 41. № 4. С. 330–339.
3. Книрель Ю. А., Здоровенко Г. М., Даунин В. М., Яковлева Л. М., Шашков А. С., Захарова Н. Я., Гвоздяк Р. И., Кошетков Н. К. // Биоорган. химия. 1986. Т. 12. № 9. С. 1253–1262.
4. Здоровенко Г. М., Яковлева Л. М., Гвоздяк Р. И., Захарова Н. Я., Кошечкина Л. Н. // Микробиол. журн. 1982. Т. 44. № 2. С. 65–70.

5. Bock K., Pedersen C. // J. Chem. Soc. Perkin Trans. II. 1974. № 3. P. 293–297.
 6. Книрель Ю. А., Шашков А. С., Дмитриев Б. А., Кошетков Н. К., Касяинчук Н. В., Захарова И. Я. // Биоорганс. химия. 1980. Т. 6. № 12. С. 1851–1859.
 7. Keller R. M., Wüthrich K. // Biol. Magn. Reson. 1981. V. 3. P. 1–52.
 8. Klyne W. // Biochem. J. 1950. V. 46. № 4. P. xli–xlii.
 9. Kochetkov N. K., Chizhov O. S., Shashkov A. S. // Carbohydr. Res. 1984. V. 133. № 2. P. 173–185.
 10. Fisher E., Bergmann M., Rabe A. // Ber. 1920. B. 53. № 11. S. 2362–2388.
 11. Книрель Ю. А., Здоровенко Г. М., Шашков А. С., Мамян С. С., Яковлева Л. М., Соляник Л. П., Захарова И. Я. // Биоорганс. химия. 1988. Т. 14. № 1. С. 82–91.
 12. Конрад Г. Е. // Методы исследования углеводов / Ред. Хорлин А. Я. М.: Мир, 1967. С. 325–327.
 13. Jansson P.-E., Kenne L., Liedgren H., Lindberg B., Lönnqvist J. // J. Chem. Commun. Stockholm Univ. 1976. № 8. P. 1–75.

Поступила в редакцию
7.IV.1987

ANTIGENIC POLYSACCHARIDES OF BACTERIA. 28. STRUCTURE
OF O-SPECIFIC CHAIN OF LIPOPOLYSACCHARIDE OF *PSEUDOMONAS*
SYRINGAE PV. *ATROFACIENS* K-1025 AND *PSEUDOMONAS*
HOLCI 90a (SEROGROUP II)

KNIREL Y. A., ZDOROVENKO G. M.*¹, YAKOVLEVA L. M.*¹, SHASHKOV A. S.,
SOLYANIK I. P.*², ZAKHAROVA I. Y.*²

*N. D. Zelinsky Institute of Organic Chemistry, Academy of Sciences
of the USSR, Moscow;*

Lipopolysaccharides of serologically related strains of *Pseudomonas syringae* pv. *at-rofuciens* K-1025 and *Pseudomonas holci* 90a possess the identical O-specific polysaccharide chains, representing a homopolymer of D-rhamnose. On the basis of methylation, partial and complete Smith degradation, and analysis by ^1H - and ^{13}C -NMR-spectroscopy, it was concluded that the repeating unit of the polysaccharide is a branched pentasaccharide of the following structure:

